

## شبیه سازی عددی امواج غبار-صوتی در محیط پلاسمای غبارآلود شامل یونهای غیرگرمائی و ذرات غبار باردار منفی.

پروانه محمدزاده الهوردیخانی<sup>۱</sup>، صفا جامی<sup>۲</sup>، کورش جاویدان<sup>۳</sup>.

۱و ۲- گروه فیزیک، دانشگاه آزاد اسلامی، مشهد. ۳- گروه فیزیک، دانشگاه فردوسی، مشهد.

### چکیده

در این مقاله ابتدا معادله انتشار موج غبار-صوتی را در یک پلاسما شامل الکترونهای بولتزمنی، یونهای غیرگرمائی و ذرات غبار باردار منفی بدست می‌آوریم. با استفاده از روش تفاضل متناهی معادله غیرخطی به دست آمده را شبیه سازی عددی می‌کنیم. سپس اثر تغییرات پارامترهای پلاسمایی را روی مشخصات موج سالیاری (دامنه و پهنای) بررسی کرده و در نهایت پایداری موج سالیاری را در پلاسمای غبارآلود غیرهمگن بررسی می‌کنیم.

## Simulation of dust acoustic wave in dusty plasma including non-thermal ions and negative dust particles.

Parvane mohamadzade alahverdikhani, Safa Jami, Kurosh Javidan

<sup>1,2</sup> Department of Physics, Azad University of Mashhad, Mashhad, Iran

<sup>3</sup>Department of Physics, Ferdowsi University of Mashhad, Mashhad, Iran

### Abstract

Propagation of dust acoustic solitary waves in dusty plasmas with Boltzmann distributed electrons, non-thermal ions and negative dust particles has been in. Using finit difference, we simulated non-linear equation . Then, we studied parameter changes of plasma with regard to solitary wave character (width and amplitude). Finally, we studied solitary wave stability in an inhomogenous dusty plasma.

PACS No.52

در این مقاله، ابتدا معادله انتشار امواج سالیاری غبار-صوتی را با استفاده از روش تفاضل متناهی شبیه سازی عددی می‌کنیم و سپس اثر پارامترهای مختلف را بروی مشخصات سالیتون و پایداری آن بررسی می‌کنیم در مرحله بعد با تغییر شرایط محیط به صورت اختلالی جایگزینه تابع مکان در هر یک از پارامترهای پلاسمایی اثر آنها را در مشخصات موج سالیاری و پایداری موج بررسی می‌کنیم.

معادلات پایه سیستم و ضرایب نرمالیزه: پلاسمای چند مولفه‌ای شامل الکترونهای بولتزمنی و یونهای غیرگرمائی و ذرات غبار سنگین با ابعاد میکرون و بار منفی را در نظر می‌گیریم. در این صورت با در نظر گرفتن پلاسمای نامغناطیسی بی‌برخورد معادلات پایه سیستم با فرض اینکه ذرات فقط در یک راستا حرکت می‌کنند به شکل زیرخواهد بود:

$$\frac{\partial u_d}{\partial t} + u_d \frac{\partial u_d}{\partial x} = \frac{\partial \varphi}{\partial x} \quad (1)$$

### مقدمه

وجود دانه‌های غبار باردار شده در محیط‌های متنوعی مثل حلقه‌های سیاره زحل، دنباله ستاره‌های دنباله‌دار و ابرهای بین ستارگان و... [1-2] همچنین در پلاسماهای آزمایشگاهی [3-4] باعث ایجاد پدیده‌های موجی متنوعی می‌شود. ار آن جمله [5] در یک پلاسمای غبارآلود نامغناطیسی، وجود امواج غبار-صوتی با سرعت فاز فوق العاده پائین را پیش بینی کرده است در حالیکه در فرکانس‌های بالاتر امواج غبار یون-صوتی در پلاسمایی که شامل یون و الکترون و ذرات غبار باردار منفی است توسط [6] پیش بینی شده است. هردوی این امواج الکتروستاتیکی بطور تجربی در آزمایشگاه مشاهده و بررسی شده‌اند [7]. اکثر مطالعات موجود به طور عمده به پلاسمای غباری همگن مربوط‌اند. در حالیکه آزمایشگاه و یا در فضا با پلاسماهای غیرهمگن روبرو هستیم که شرایط محیطی بر انتشار امواج تاثیر می‌گذارد.

$$n_d = 1 + \xi n_{d1} + \xi^2 n_{d2} + \xi^3 n_{d3} + \dots \quad (5)$$

$$\varphi = \xi \varphi_1 + \xi^2 \varphi_2 + \xi^3 \varphi_3 + \dots$$

$$u_d = \xi u_{d1} + \xi^2 u_{d2} + \xi^3 u_{d3} + \dots$$

معادلات فوق را در معادلات پایه سیستم یعنی روابط (۱، ۲، ۳، ۴) قرار داده و ضرایب توانهای یکسان  $\xi$  را مساوی هم قرار می‌دهیم، در پایین ترین مرتب توان  $\xi$  جملاتی به دست می‌آید طی چند مرحله عملیات جایگزینی، می‌توانیم معادله تحول زمانی ذیل را برای پتانسیل الکتروستاتیکی به دست آوریم:

$$\frac{\partial \varphi_1}{\partial \tau} + A \varphi_1, \frac{\partial \varphi_1}{\partial \xi} + B \frac{\partial^3 \varphi_1}{\partial \xi^3} = 0. \quad (6)$$

که ضرائب  $A, B$  به صورت ذیل هستند:

$$A = \frac{-3}{2} \left[ \frac{\mu \sigma_i + 3\alpha \mu \sigma_i - \alpha + 1}{(1-\mu)(1+3\alpha)} \right]^{1/2} - \left[ \frac{\mu \sigma_i + 3\alpha \mu \sigma_i - \alpha + 1}{(1-\mu)(1+3\alpha)} \right]^{-1/2} \frac{\mu \sigma_i}{2(1-\mu)} \\ B = \frac{1}{2} \left[ \frac{\mu \sigma_i + 3\alpha \mu \sigma_i - \alpha + 1}{(1-\mu)(1+3\alpha)} \right]^{-1/2} \quad (7)$$

ضریب جمله غیرخطی و  $B$  ضریب جمله پاشندگی در معادله  $A$  به صورت تابعی پیچیده از پارامترهای پلاسمایی مانند  $\alpha, \mu, \sigma_i$  هستند. علامت ضریب  $A$  به مقدار پارامترهای  $\alpha, \mu, \sigma_i$  وابسته است، به طوریکه اگر ضریب  $A$  مثبت باشد موج سالیتاری برآمده در این سیستم وجود دارد و اگر علامت  $A$  منفی باشد موج سالیتاری فرورفته در سیستم وجود خواهد داشت.

به منظور مطالعه موج سالیتاری پایای معادله (۶) فرض می‌کیم حل پایای آن به شکل  $(\chi) \phi_1 = \phi_m \sec h \left( \frac{\xi - c_0 \tau}{\omega} \right)$  که  $c_0 \tau - \xi = \chi$  است، باشد.

با جایگزین کردن این عبارت در معادله فوق حل موج سالیتاری پایای آن بدست می‌آید که به شکل

$$\phi_1 = \phi_m \sec h \left( \frac{\xi - c_0 \tau}{\omega} \right) \quad \text{است که} \quad \omega = 2 \sqrt{\frac{B}{c_0}} \quad \text{دامنه سالیتون و} \quad \omega \text{ پهنهای}$$

سالیتون نام دارند. از رابطه بالا نتیجه می‌شود که مقدار هر یک از سه پارامتر  $\alpha, \mu, \sigma_i$  بروی نمای سالیتون شدیداً اثر می‌گذارد و امکان به وجود آمدن موج سالیتاری فرورفته و برآمده بطورهمزمان وجود دارد. در ادامه معادله غیرخطی انتشار امواج غبار- صوتی (۶)

$$\frac{\partial n_d}{\partial t} + \frac{\partial}{\partial x} (n_d u_d) = 0. \quad (2)$$

$$\frac{\partial^3 \varphi}{\partial x^3} = n_d + \frac{\mu}{1-\mu} \exp(\sigma_i \varphi) - \frac{1}{1-\mu} n_i \quad (3)$$

که در آن یونها دارای توزیع غیرگرمایی هستند به طوریکه چگالی یونها به شکل زیر بیان می‌شود:

$$n_i = \left[ 1 + \frac{4\alpha}{1+3\alpha} (\varphi + \varphi^*) \right] e^{-\varphi} \quad (4)$$

که پارامتری است که چگالی یونها سریع (غیرگرمایی) را نشان می‌دهد. در این معادلات  $n_d$  چگالی ذرات غبار است که با  $n_{d0}$  چگالی ذره غبار حالت تعادلی نرمالیزه شده است.  $u_d$  سرعت

$$c_d = \left( \frac{Z_d T_i}{m_d} \right)^{1/2} \quad \text{سیال غبار که بوسیله سرعت غبار صوتی}$$

$Z_d$  تعداد بار روی ذرات غبار و  $m_d$  جرم ذره غبار است.  $\varphi$  پتانسیل الکتروستاتیکی ذرات محیط است که با  $T_i$  نرمالیزه شده است.  $t$  متغیر زمان،  $x$  متغیر مکان هستند که به  $e$

$$\omega_{pd} = \left( \frac{m_d}{4\pi e^* n_{d0} z_d} \right)^{1/2} \quad \text{وسیله فرکانس پلاسمائی غبار}$$

$$\sigma_i = \frac{T_i}{T_e} \quad \text{دبای} \quad \lambda_{Dd} = \left( \frac{T_i}{4\pi e^* n_{d0} z_d} \right)^{1/2} \quad \text{دبای}$$

$$\mu = \frac{n_{e0}}{n_{i0}} \quad \text{که} \quad T_i \quad \text{دمای یونها} \quad \text{و} \quad T_e \quad \text{دمای الکترونهاست.} \quad n_{e0}$$

و  $n_{e0}$  چگالی غیراختلالی به ترتیب یونها و الکترونها هستند.  $n_i$  چگالی یونها به وسیله  $n_{i0}$  نرمالیزه شده است.

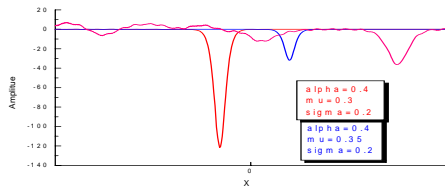
استخراج معادله هیدرودینامیکی انتشار امواج غبار- صوتی:

در این قسمت معادله انتشار امواج دامنه کوچک و ضعیف را در پلاسمای غباری با یونها غیرگرمایی با استفاده از روش سطهای اختلالی- کاهشی به دست می‌آوریم. دستگاه مختصاتی به شکل

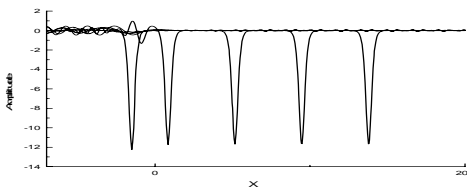
$$(x - \lambda t)^{1/2} = \xi \quad \text{و} \quad t^{1/2} = \tau \quad \text{که در آن} \quad \lambda \quad \text{سرعت فاز امواج}$$

است که بوسیله سرعت موج غبار- صوتی نرمالیزه شده است و  $\xi$  پارامتری کوچک است که شدت غیرخطیت را نشان می‌دهد، تعریف می‌کنیم و متغیرهای وابسته را به صورت سریهای توانی  $\xi$ ، در حالت تعادل به صورت ذیل بسط می‌دهیم:

همانطور که ملاحظه می شود وقتی موج از ناحیه اختلالی عبور می کند مجدداً به شکل پایدار در تحولات زمانی ظاهر می شود ولی با دامنه و پهنای که نسبت به مقدار محاسبه شده آنها قبل از ناحیه اختلال متفاوت است. در شکل(۲) مقایسه بین نتایج شبیه سازی عددی و محاسبات انجام شده است، قبل از برخورد با اختلال موجی با دامنه و پهنای  $\varphi_m = -121/66, \omega = 2/6$  داریم در حالیکه به ازای بیشینه اختلال (در مثال فوق) موجی با دامنه و پهنای  $\varphi_m = -31/85, \omega = 2/4$  را نمایش می دهد، همچنین شکل موج شبیه سازی شده و دنباله های نوسانی رو به عقب آن را مشاهده می کنید.



شکل(۲): نتیجه شبیه سازی موج سالیتاری قبل و بعد از برخورد با اختلال و شکل موج محاسبه شده به ازای بیشینه اختلال را نشان می دهد.  
ب) نسبت دمای یون های موجود در پلاسمای دمای الکترونها را با پارامتر  $\sigma_i$  نمایش دادیم، در این قسمت اثر کاهش تدریجی و کاملاً جایگزیده در این کمیت را به ازای پارامترهای  $\alpha = 1/4$  و  $\mu = 1/3$  و  $\sigma_i = 1/3$  که اثر اختلالی را به شکل  $\sigma_i = 1/4 - 0.05\exp(-2x^2)$  نتایج شبیه سازی عددی انجام شده در شکل (۳) آمده است



شکل(۳): موج سالیتاری قبل از برخورد با اختلال، موج مختل شده و پایداری موج با مشخصات جدید در تحولات زمانی بعد از برخورد با اختلال را نشان می دهد.

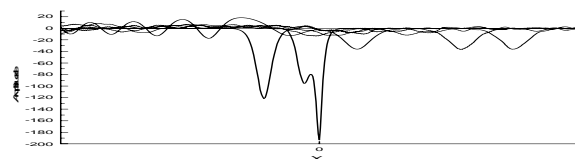
شکل(۴) موج سالیتاری در ناحیه بدون اختلال با دامنه و پهنای  $\varphi_m = -12/24, \omega = 2/44$  را نشان می دهد بعد از اختلال محاسبات عددی به ازاء کمینه اختلال موجی با دامنه و پهنای

را به روش تفاضل منتهای شبیه سازی عددی کرده و به ازای مقادیر متفاوت  $\sigma$  و  $\mu$  تحول زمانی موج سالیتاری حاصله را در محیط پلاسمای غباری همگن بررسی کردیم.

#### بررسی اثر اختلال بر روی مشخصات و پایداری موج:

بعد از اینکه پایداری موج سالیتاری به وجود آمده در محیط پلاسمای غباری همگن فوق را در تحولات زمانی به طور عددی ملاحظه کردیم، چون اکثر محیط های پلاسمای غباری از نظر توزیع دمایی ذرات، چگالی،... غیر همگن می باشند، در این قسمت رفتار امواج سالیتاری در برخورد با اختلال را بررسی کردیم. این بررسی در سه قسمت عدمه انجام داده و اثر اختلال در هر یک از پارامترهای پلاسمائی  $\alpha, \mu, \sigma$  را اولاً به طور جداگانه و به شکل افزایشی و کاهشی بررسی نموده ایم. از طرفی اختلال را به صورت کاملاً جایگزیده (به کمک تابع  $e^{-\alpha x^2}$ ) که دامنه و پهنای ناحیه اختلالی را به راحتی بتوانیم تعییر دهیم انتخاب نمودیم و آن را به صورت یک تغییر کوچک در ناحیه همگن که موج منتشر می شود در نظر گرفته و اثر آن را در پایداری و مشخصات ظاهری موج سالیتاری بررسی کردیم.

الف) به ازای پارامترهای  $\sigma = 1/4, \mu = 1/3$  و  $\alpha = 1/4$  مقدار جمله اختلالی را به صورت  $(-0.05\exp(-2x^2))\mu$  در نظر می گیریم. شکل(۲) نتایج شبیه سازی عددی را نمایش می دهد. از این نمودار می توان دریافت که انتشار موج سالیتاری اولیه در ناحیه غیر همگن به شکل حساسی به توزیع های چگالی الکترون و یون وابسته است. طوریکه بعد از برخورد با اختلال موج سالیتاری با انتشار مقداری انرژی به حالت پایدار با دامنه کوتاه می رسد پس می توان نتیجه گرفت که موج سالیتاری در برخورد با اختلال پایدار است.



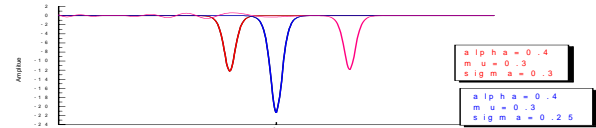
شکل(۱): موج سالیتاری قبل از برخورد با اختلال، موج مختل شده و پایداری موج با مشخصات جدید در تحولات زمانی بعد از برخورد با اختلال را نشان می دهد.

می شوند، طوریکه بر حسب پارامترهای محیط می توانیم مشخصات موج (دامنه و پهنا) را بدست آوریم. اضافه کردن یک جمله اختلالی تابع مکان به معنای تغییر شرایط محیط پلاسمای غباری و تبدیل آن به محیطی ناهمگن می باشد. نتایج شبیه سازی نشان می دهدند که وارد کردن اختلال به هر یک از پارامترهای  $\alpha, \mu, \sigma$  باز هم موج سالیتاری پایداری را بوجود می آورد، اما موج سالیتاری در برخورد با اختلال مقداری از انرژی خود را به صورت دنباله های نوسانی رو به عقب منتشر می کند و خود با دامنه و سرعتی که متفاوت از دامنه و سرعت آن قبل از ناحیه اختلال است به شکل پایدار منتشر می شود طوری که با استفاده از پارامترهای محیط پلاسمای غباری نمی توانیم دامنه و سرعت موج سالیتاری را محاسبه کنیم. چون اکثر محیط های پلاسمای غباری غیرهمگن هستند می توان نتیجه گرفت که از طریق اندازه گیری سرعت و دامنه موج سالیتاری نتایج خیلی دقیقی از مشخصات محیط به دست نمی آیند.

### مرجع ها

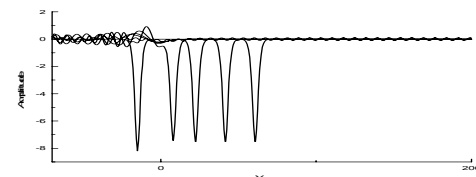
- 1-Whipple, E.C., Northrop, T.G., Mendis, D.A., 1985. "The electrostatics of a dusty plasma". J. Geophys. Res. **90**, 7405-7413.
- 2-Angelis, U., Formisano, V., Giordano, M., 1988. "Ion plasma wave in dusty plasmas: Halley's comet". J. Plasma Phys. **40**, 399-406.
- 3-Barkan, A., Merlino, R.L., Angelo, N.D., 1995. "Laboratory observation of the dust-acoustic wave modes". Phys. Plasmas **2**, 3563-3565.
- 4- Merlino, R.L., Barkan, A., Thompson, C., Angelo, N.D., 1998. "Laboratory studies of waves and instabilities in dusty plasmas". Phys. Plasmas **5**, 1607-1614.
- 5-Rao, N.N., Shukla, P.K., Yu, M.Y., 1990. "Dust-acoustic waves in dusty plasmas". Plasmas. Planet. Space Sci. **38**, 543-546.
- 6-Shukla, P.K., Silin, V.P., 1992. "Dust ion-acoustic wave". Phys. Scr. **45**, 508.
- 7- Barkan, A., Merlino, R.L., Angelo, N.D., 1996. "Experiments on ion-acoustic waves in dusty plasmas". Planet. Space Sci. **44**, 239-242.
- 8-Mamun, A.A., Russell, S.M., Mendoza-Briceno, T.K., et al, 2000. Planet Space Sci. **48**, 163.

$\varphi_m = -21/36, \omega = 2/51$  را پیش بینی می کند، شکل موج شبیه سازی شده و دنباله های نوسانی رو به عقب آن بعد از اختلال نیز آورده شده است.



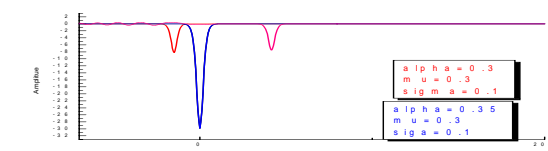
شکل (۴): نتیجه شبیه سازی موج سالیتاری قبل و بعد از برخورد با اختلال و شکل موج محاسبه شده به ازای کمینه اختلال را نشان می دهد.

ج) جمعیت یونهای غیرگرمائی را با پارامتر  $\alpha$  با نمایش دادیم. در این قسمت به ازای مقادیر  $\alpha_0 = .1/3$ ،  $\alpha_0 = .1/3$  و  $\alpha_0 = .1/3$  در اثر اختلالی افزایشی را به شکل  $\alpha = \alpha_0 + 0.05 \exp(-2x^2)$  نظر گرفتیم. نتایج شبیه سازی عددی انجام شده در شکل (۵) آمده است.



شکل (۵): موج سالیتاری قبل از برخورد با اختلال، موج مختل شده و پایداری موج با مشخصات جدید در تحولات زمانی بعد از برخورد با اختلال را نشان می دهد.

شکل (۶) موج سالیتاری در ناحیه بدون اختلال با دامنه و پهنا  $\varphi_m = -8/18, \omega = 2/27$  را نشان می دهد، بعد از اختلال  $\varphi_m = -29/84$  محاسبات عددی موج با دامنه و پهنا  $\varphi_m = -29/84$  و  $\omega = 2/52$  را پیش بینی می کند ولی نتایج شبیه سازی موجی با دامنه و پهنا اندکی کمتر از موجی که در ناحیه بدون اختلال منتشر می شود را نمایش می دهد.



شکل (۶): نتیجه شبیه سازی موج سالیتاری قبل و بعد از برخورد با اختلال و شکل موج محاسبه شده به ازای بیشینه اختلال را نشان می دهد.

### نتیجه گیری:

در محیط پلاسمای غباری همگن امواج غبار- صوتی که گاهی برآمده و گاهی فرورفتند به شکل پایدار در محیط منتشر